

II-24 サロベツ川流域における融雪流出について

開発局稚内開建 正員 西村 豊
(株)水工クリーク 正員 ○岡田 操

1. まえがき

サロベツ川は、宗谷丘陵にその源を放し清明川、下エベコロベツ川などを合流させ、天塩川に斜標11.8 km付近で合流している。(図-1) 流路延長70 kmあまり流域面積約650 km²のうち、下流部す程度が標高10 m以下のサロベツ原野である。この原野に隣する河川改修は殆ど手がつけられていない為、融雪期にしばしば浸水している現状である。またサロベツ川下流部では天塩川の背水及び日本海の潮汐の影響を受けることが多く水位の記録から自流量を推定することが困難である。

ここでは、この流域のうち豊富大橋分流域の融雪機構を気象台から入手し得る毎時の気象資料を用いて熱収支法で解析する。さらにこいで得られた融雪量をもとに財留閏数法で流出解析を行い、同時に水収支の定量的な検討を行う。

2. 融雪量の推定計算

流域を一定間隔のメッシュに分割しこのメッシュ交差の地形因子をいくつか選び、これによる多重相関回帰方程式により推定する方法に依った。これは、石原・鶴不らによて開拓された手法で、山口・長谷川によつてもその信頼性が確認されている。ここで使用した地形因子は地表座標X, Yと X^2 , Y^2 , $X \cdot Y$ の他に表-1の12種である。

ここでF14～F17の求め方は以下の通りである。メッシュ間隔をD、各メッシュ交差の標高をH、添字x, yをメッシュ交差の座標とし、 \bar{H} , \bar{A} , \bar{H} を次のように定義する。

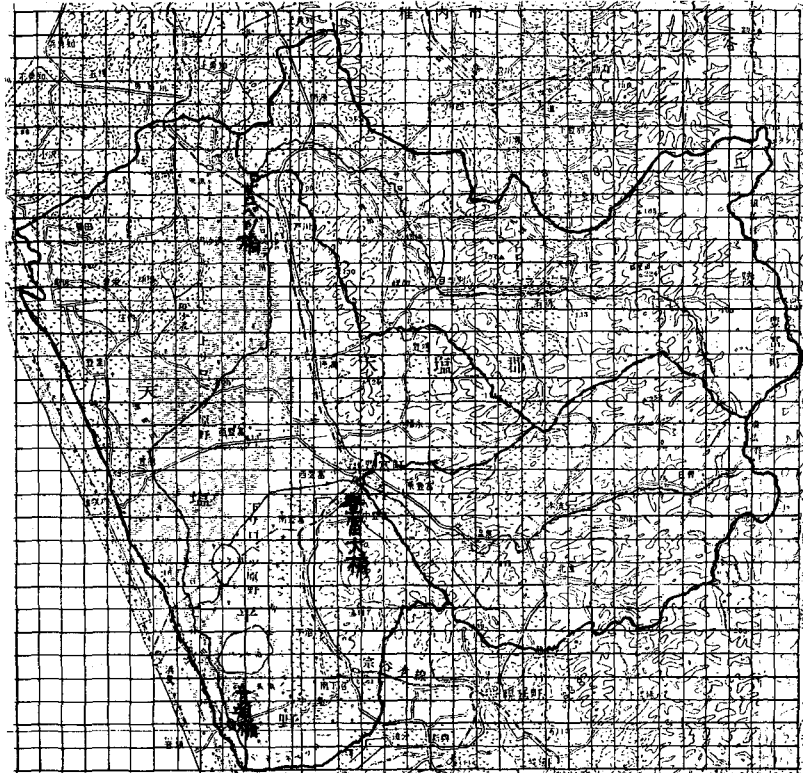


図-1. 流域図 (メッシュ間隔は1.0 km)

記号	因 子	意 味
F6	標 高	地表の標高(m)
F7	2km起伏度	2km以内の最高点と地表との標高差(m)
F8	5km起伏度	5km以内の最高点と地表との標高差(m)
F9	10km起伏度	10km以内の最高点と地表との標高差(m)
F10	南北勾配	南北に隣接するメッシュ交差の標高差(m)
F11	東西勾配	東西に隣接するメッシュ交差の標高差(m)
F12	南北曲率	南北に隣接する交差と地表との3点によって決まる三角形に外接する円の曲率半径(km)
F13	東西曲率	東西に隣接する交差と地表との3点によって決まる三角形に外接する円の曲率半径(km)
F14	長波長勾配1	メッシュ間隔の波長の地形を消去した地形勾配(m/km)
F15	長波長勾配2	メッシュ間隔の2倍の波長の地形を消去した地形勾配
F16	長波長勾配3	メッシュ間隔の4倍の波長の地形を消去した地形勾配
F17	長波長勾配4	上記3つの波長の地形を消去した地形勾配(m/km)

表-1. 地 形 因 子

$$\left. \begin{aligned} \bar{H}_{x,y} &= \frac{1}{4} (H_{x+1,y} + H_{x-1,y} + H_{x,y+1} + H_{x,y-1}) \\ \bar{\bar{H}}_{x,y} &= \frac{1}{4} (\bar{H}_{x+2,y} + \bar{H}_{x-2,y} + \bar{H}_{x,y+2} + \bar{H}_{x,y-2}) \\ \bar{\bar{\bar{H}}}_{x,y} &= \frac{1}{4} (\bar{\bar{H}}_{x+4,y} + \bar{\bar{H}}_{x-4,y} + \bar{\bar{H}}_{x,y+4} + \bar{\bar{H}}_{x,y-4}) \end{aligned} \right\} \quad (1)$$

\bar{H} はメッシュ間隔 D だけ離れた周囲の4交点における H の平均値である。同様に $\bar{\bar{H}}$ はメッシュ間隔 $2D$ だけ離れた周囲の4交点における H の平均値で、言い換えると D 及び $3D$ 離れた周囲 16 交点の H の平均値である。 $\bar{\bar{\bar{H}}}$ は $4D$ だけ離れた周囲 4 交点の \bar{H} の平均値で、 $D, 3D, 5D, 7D$ 離れた周囲 64 交点の H の平均値である。これで F14 ~ F17 を表現すると (2) 式のようになる。

$$\left. \begin{aligned} F14_{x,y} &= \frac{(H - \bar{H})_{x,y} - (H - \bar{H})_{x-1,y}}{D} \\ F15_{x,y} &= \frac{(\bar{H} - \bar{\bar{H}})_{x,y} - (\bar{H} - \bar{\bar{H}})_{x-1,y}}{D} \\ F16_{x,y} &= \frac{(\bar{\bar{H}} - \bar{\bar{\bar{H}}})_{x,y} - (\bar{\bar{H}} - \bar{\bar{\bar{H}}})_{x-1,y}}{D} \\ F17_{x,y} &= \frac{\bar{\bar{\bar{H}}}_{x,y} - \bar{\bar{\bar{H}}}_{x-1,y}}{D} \end{aligned} \right\} \quad (2)$$

(2) 式の分子第 2 項の添字 $(x-1, y)$ は積雪期の卓越風向を西とした場合で、北風ならば $(x, y-1)$ となり、北西風ならば添字を $(x-1, y-1)$ とし、かつ分子を \sqrt{D} とする。

これらの地形因子により積雪深と積雪密度を推定する方程式五次式とする。ここで H_S は積雪深、 D_S は積雪密度である。

$$H_S = A_0 + A_1 X + A_2 Y + A_3 X^2 + A_4 Y^2 + A_5 XY + A_6 F_6 + \dots + A_{17} F_{17} \quad (3)$$

$$D_S = A_0 + A_1 X + A_2 Y + A_3 X^2 + A_4 Y^2 + A_5 XY + A_6 F_6 + \dots + A_{17} F_{17} + A_{18} H_S \quad (4)$$

昭和 53 年、54 年に 50 基及び 55 年に 61 基実施した積雪調査のうち各年の結果と各地点の地形因子上の重相関係数を求め (3), (4) 式の常数と回帰係数を決定する。この常数と係数の値は表-2, 3 の通りである。またこれらの重相

	A_0	A_1	A_2	A_3	A_4	A_5	A_6	A_7	A_8	A_9	A_{10}	A_{11}	A_{12}	A_{13}	A_{14}	A_{15}	A_{16}	A_{17}
53	17224	-624	-514	5	7	28	35	-9	-5	1	7	-12	-12	1	7	-73	-128	145
54	6089	38	-131	-7	3	11	82	-5	1	-1	6	-32	-2	6	-78	-141	-67	-157
55	6262	155	73	-7	-7	16	4	6	-4	-4	-20	27	-10	7	42	2	99	-57

表-2 積雪深推定重相関回帰方程式の常数と係数 ($\times 10^{-4}$)

	A_0	A_1	A_2	A_3	A_4	A_5	A_6	A_7	A_8	A_9	A_{10}	A_{11}	A_{12}	A_{13}	A_{14}	A_{15}	A_{16}	A_{17}	A_{18}
53	2959	-38	5	-0	-2	3	-6	2	1	1	-3	6	-0	-2	11	19	-30	-46	125
54	4180	-86	-153	-2	5	1	16	2	7	3	-1	2	-0	-2	3	1	-15	-42	-146
55	4019	-118	195	6	-5	-2	-18	2	5	-4	6	8	0	5	18	25	30	2	-284

表-3 密度推定重相関回帰方程式の常数と係数 ($\times 10^{-4}$)

	X	Y	X^2	Y^2	XY	H	F_7	F_8	F_9	F_{10}	F_{11}	F_{12}	F_{13}	F_{14}	F_{15}	F_{16}	F_{17}
53	27.40	26.16	3.57	6.56	20.39	3.75	2.02	1.75	0.80	0.31	0.72	1.47	0.12	0.21	1.62	1.45	1.71
54	3.68	14.67	11.96	5.75	16.98	19.33	2.35	0.45	0.68	0.51	4.26	0.46	1.38	5.15	6.81	1.60	3.98
55	14.74	7.35	12.46	12.95	24.77	1.19	3.07	2.93	4.98	1.83	3.39	2.21	1.43	3.02	0.10	2.13	1.46

表-5 積雪深に対する地形因子の影響 (%)

	積雪深	密度
53	0.71121	0.66929
54	0.83199	0.74166
55	0.71732	0.70337

表-4 重相関係数

	X	Y	X^2	Y^2	XY	H	F_7	F_8	F_9	F_{10}	F_{11}	F_{12}	F_{13}	F_{14}	F_{15}	F_{16}	F_{17}	H_S
53	15.54	2.13	1.43	17.50	19.14	5.85	3.45	3.14	6.03	1.15	3.43	0.04	1.78	3.17	3.01	3.12	5.07	4.17
54	14.02	29.02	5.92	19.08	2.11	6.41	1.64	8.93	6.91	0.13	0.42	0.21	0.87	0.29	0.12	0.68	1.77	1.49
55	12.73	25.83	13.83	12.78	4.97	6.30	1.17	4.92	6.10	0.87	1.25	0.03	1.18	1.70	1.36	0.84	0.08	2.07

表-6 密度に対する地形因子の影響 (%)

係数は表-4 である。これらの地形因子が推定量全体にどの程度の影響を及ぼしているかを積雪調査地の各因

子と(3), (4)式に代入して比較する。常数項を除いた各項の積の絶対値の和を百分率として表わしたのが表-5, 6である。これらによれば積雪深と密度に影響を及ぼす因子は各年多少異つてはいるが東に向かって低い流域の比較的単純な地形を反映して、

直線の因子の比が大きいようである。なおこの推定計算の結果各年の流域内平均貯留高(水に換算した値)は表-7の通りである。これは融雪計算の水量の初期値となり、全流域に亘ってこの値からはじまる融雪計算を続ける。

3. 融雪計算の方法

融雪量の推算に従来多く用いられてきた方法は、容易に測定できる気温をファクターとするものである。一方種々の気象因子を用いる熱収支法があるが、これはこれらの気象資料の入手が困難であることと融雪現象が複雑になることなどで実用された例は多くない。

当流域ではほぼ中央に位置する豊富町市街で気象観測を行われているが、気温、風向風速、降水量、日照時間のいわゆる四要素だけである。熱収支法で使用する気象因子は、気温、気圧、相対湿度、風速、雲量、降水量、日射量の7つの要素である。この7つの要素のうち日射量と雲量とに相關関係がある日照時間について豊富と他の観測場の比較を行ったのが図-2である。これによると特に融雪が促進されると考えられる日照時間の長い日は、ほとんど同じ値をとっている。この理由で要素の不足分を30kmほど離れた稚内地方気象台の觀測資料と併せて補完することとした。

今回の解析に用いた熱収支方程式は(5)式である。

$$Q_M = Q_R + Q_A + Q_E + Q_D + Q_P + Q_H \quad \dots \dots \dots (5)$$

各項について以下に簡単に述べる。 Q_M は融雪量である。 Q_R は放射吸収量であり次式のように短波放射と長波(赤外)放射の上向き下向きの四成分の和として決定される。

$$Q_R = S - \alpha S + I_d - I_u \quad \dots \dots \dots (6)$$

この中で S は日射量、 α は積雪面の反射能 Albedo である。表面温度を T_s (°K)の雪面からの放射フラックス I_{uB} 、Stefan-Boltzmann の法則に従って(7)式で表わす。

$$I_u = \epsilon \sigma T_s^4 \quad \dots \dots \dots (7)$$

ここで σ は Stefan の定数($5.67 \times 10^{-8} \text{ cal/cm}^2 \cdot \text{min}^{-1} \cdot \text{K}^4$)であり、 ϵ は黒体放射に対する地表面の赤外放射の比で、赤外放射率と呼ばれる。一方大気は短波放射に対してほとんど透明であるが赤外放射はよく吸収する。したがって地表面からの赤外放射 I_u のうち一部を逆放射として下向きに再放射する。大気の逆放射 I_d は Brunt の式を基礎とする場合に修正した経験式を用いる。

$$I_d = \epsilon \sigma T_a^4 \{ 1 - (0.49 - 0.066\sqrt{\bar{e}_a}) \bar{k} \} \quad \dots \dots \dots (8)$$

T_a は気温、 \bar{e}_a は水蒸気圧の平均値、 \bar{k} は雲量の平均値元をつけて次式で表わされる。

$$\bar{k} = 1 - 0.53 (1 - 0.0095 \bar{e}_a) (\bar{n} + 0.5 \bar{n}^2) \quad \dots \dots \dots (9)$$

頭熱伝導量 Q_A は、気温 T_a と積雪面温度 T_s 及び風速 V で表わす次の経験式を用いる。

$$Q_A = \alpha_1 (T_a - T_s) V \quad \dots \dots \dots (10)$$

ここで α_1 は小島らが求めた値 $\alpha_1 = 0.38 \text{ (cal/cm}^2 \cdot \text{hr} \cdot {^\circ}\text{C} \cdot \text{m s}^{-1}\text{)}$ である。

潜熱伝導量 Q_E は次式で表わされる。

$$Q_E = -L \cdot E \quad \dots \dots \dots (11)$$

L は蒸発の潜熱に雪の融解熱を加え 680 (cal/g) を用いた。積雪面からの蒸発量 E は空気中の水蒸気圧 e_a (mb)。

年月日	分流域	アーベツ橋	豊富大橋	浜里(濱流域)
53. 3. 20		25.02	33.02	28.97
54. 3. 21		40.08	49.08	29.16
55. 3. 23		—	32.93	—

表-7 流域の貯留高 (cm)

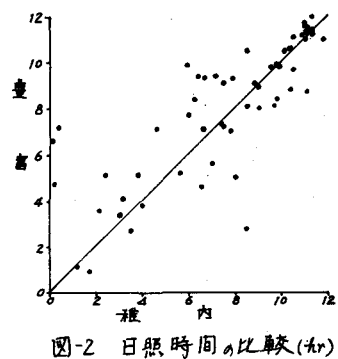


図-2 日照時間の比較 (hr)

と積雪面温度にかけた飽和水蒸気圧 e_0 (mb)、風速 V により次の関係式で与えられる。

$$E = \beta_1 (e_0 - e_a) V \quad \dots \dots \dots (12)$$

この β_1 の値については $0.83 \times 10^{-3} \sim 1.28 \times 10^{-3}$ ($g/cm^2 \cdot hr \cdot mb \cdot m \cdot s^{-1}$)

程度の値をとることが知られている。ここでは 0.90×10^{-3} を用いた。

この E が正のとき積雪面から昇華蒸発が起こり熱が奪われる。すなはち真のヒキ昇華凝縮が起こり $-L \cdot E$ に相当する熱量が供給される。

積雪かみる程度以上に存在する場合、地温温度はほぼ定常値となり、温度の垂直傾度 $\partial T_e / \partial z$ はほとんど一定となる。地面から積雪内にはいる熱量 Q_D は次式で表わされる。

$$Q_D = -K_e \partial T_e / \partial z \quad \dots \dots \dots (13)$$

K_e は土壤の熱伝導率 ≈ 0.001 ($cal/cm \cdot ^\circ C \cdot s$) である。 $\partial T_e / \partial z$ は

積雪期間中の測定値から 0.04 ($^\circ C/cm$) であることが知られており。⁵⁾

また秋田谷が北大天塩演習場で実測した値を考慮して $Q_D = 0.144$ ($cal/cm^2 \cdot hr$) と決めた。

降水から供給される熱量 Q_P は次式で表わされる。

$$Q_P = C_s \cdot T_p \cdot R \quad \dots \dots \dots (14)$$

$$Q_P = C_p \cdot (T_p + 80) \cdot R \quad \dots \dots \dots (15)$$

T_p は降雨あるいは降雪の温度で各メッシュの気温と温度から算出される湿球温度に等しいものとした。この T_p がマイナスで降雪のとき(14)式を、またアラスで降雨のとき(15)式を用いる。ここで C_s , C_p は雪及び雨の比熱、 R (cm) は降水量である。

Q_H は凍結層昇温熱量で、藤田ら⁷⁾が Cold-content として定義したものの微分量で次式で表わす。

$$Q_H = -C_s \cdot H_s \cdot D_s \cdot d\bar{T}_s / dt \quad \dots \dots \dots (16)$$

ここで H_s は積雪深、 D_s は密度、 \bar{T}_s は平均雪温である。積雪内の含水凍結層の温度が $0^\circ C$ までの範囲で上昇するととき、 Q_H は負となり、また下降するととき正となる。

4. Albedo α の決定

放射吸収量の計算で各メッシュの気温は高さ $100m$ について $0.6^\circ C$ の遞減率とした。また日射量については時刻の太陽高度と各地の地面の傾斜角を考慮して、その入射角を計算している。(6)式の中で最も不確定な要素は Albedo α であるが、この値は一定の遞減率で毎日に減少するものとして豊富観測所における実測積雪深と比較して最適な係数を求める。(図-3) Albedo 算出式のオイ項の係数は 3 月 1 日の Albedo 値でありオイ項の係数は 1 日当たりの递減率である。計算は熱収支から直接積雪相当水量の水収支を求めていけるので、密度の変化を考慮していい。このため図では計算値に比較して実測値の凹凸が目立つ結果になってしまふものと思われる。この図や風流

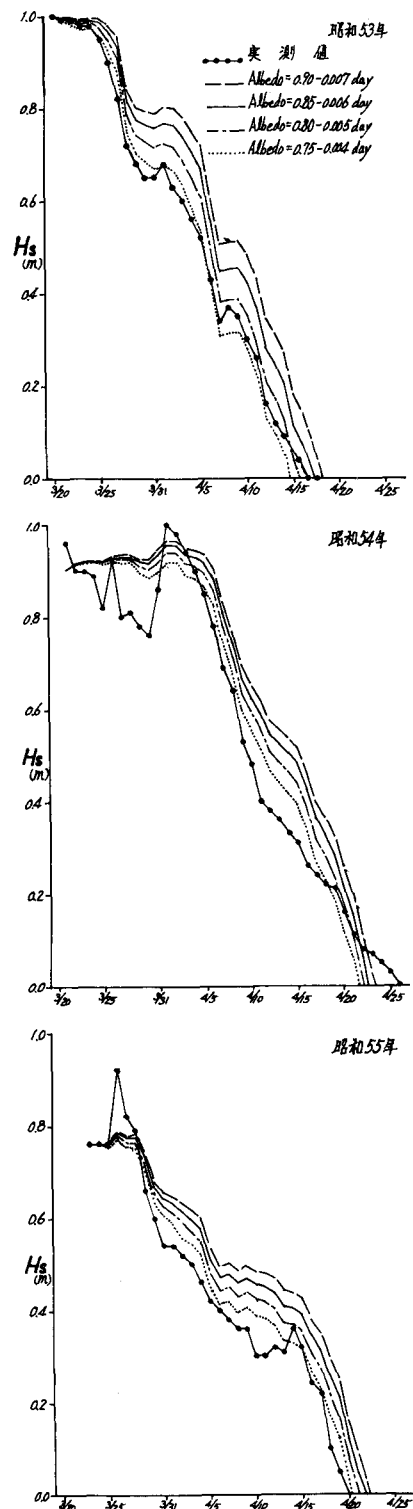


図-3 積雪深の比較 (豊富観測所)

域の計算消雪日はどこから考へると $\alpha = 0.85 - 0.006 \text{ day}$ が最も適切なものとして採用した。これは 3 ヶ年に亘って同じ傾向である。

5. 融雪計算結果

図-4は以上の方法で毎時間各メッシュごとに計算した熱収支項のうち代表値として豊富観測所地表の一時ごとの熱量を示したものである。また表-8は同地表の融雪期商正通じての熱収支の熱量である。

() 内は總融雪熱量に対する百分率である。これらによれば放射吸収量 QR と頭熱伝達量 QA 上で全体の 90% 前後を占めており、他の項は量的に少なく年によるこのバラツキも大きい。特に潜熱伝達量 QE は晴天が多く気温のみより上ることの少ないかたが、53 年にはマイナスに転じている。また降雨による熱供給が大きさのように思われるがどうであるか QP が占める割合は 5% 前後である。図からもわかるように降雨に伴う暖気の進入によって QA がまた進度の上昇によって QE が大きくなるなど同時に起る別な要因で

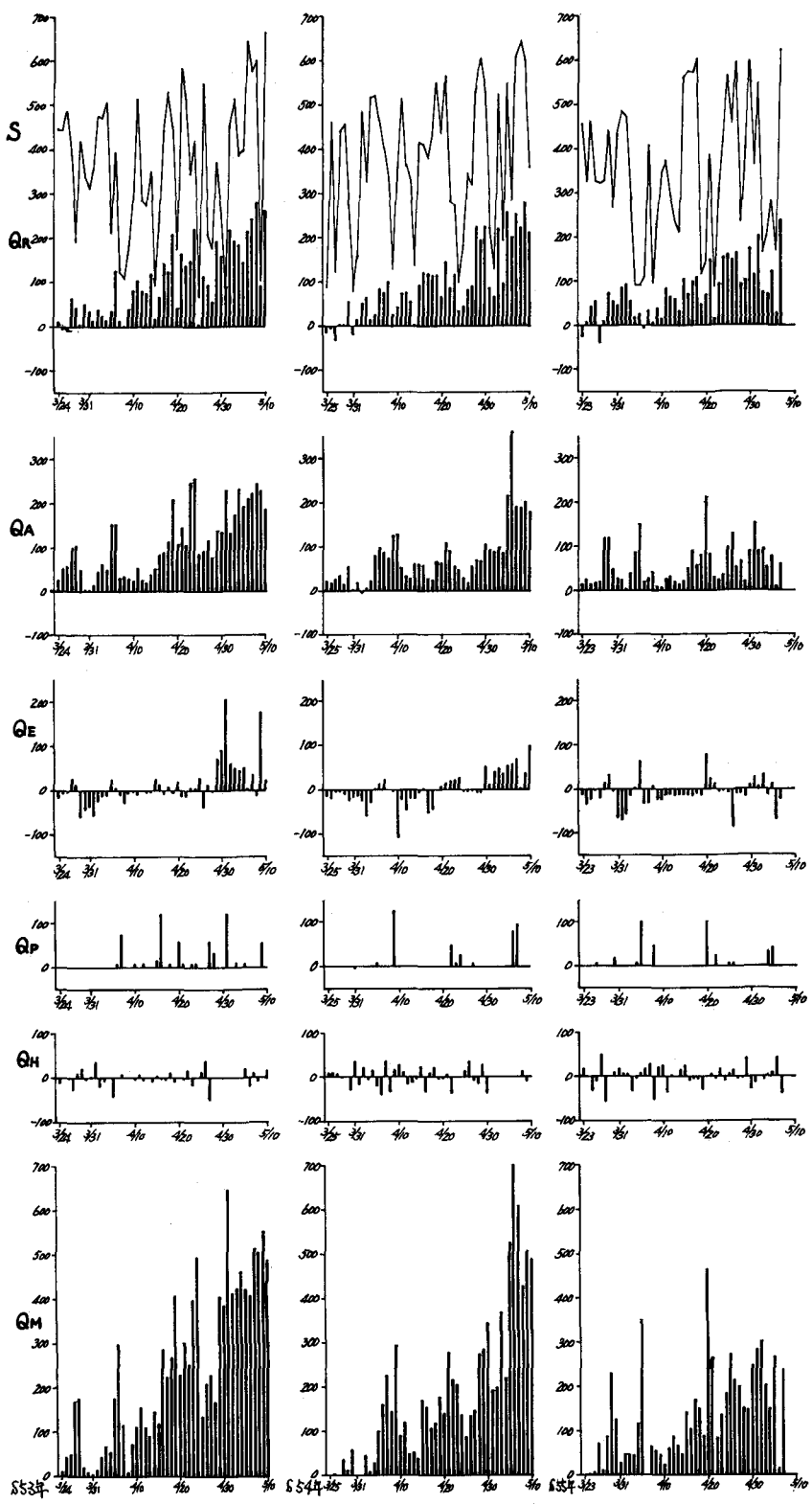


図-4 豊富観測所地表の熱収支 ($\text{cal}/\text{cm}^2 \cdot \text{day}$)

期間	S	QR	QA	QE	QD	QP	QH	QM
53.3/24～5/10	17407.0	4770.820 (42.21)	5233.271 (46.30)	555.680 (4.92)	165.888 (1.47)	603.109 (5.34)	-26.742 (-0.24)	11302.026
54.3/25～5/10	17291.0	4460.913 (51.41)	3613.026 (41.64)	50.494 (0.58)	162.432 (1.07)	394.898 (4.55)	-4.561 (-0.05)	8677.196
55.3/23～5/7	16007.0	3457.677 (56.57)	2584.677 (42.29)	-482.133 (-7.89)	158.976 (2.60)	398.282 (6.42)	0.892 (0.01)	6112.371

表-8 豊富観測所地表の融収実験量 (cal/cm²)

見かけ上融雪が進行する。

以上の融収支計算に伴って算出される豊富大橋地表流域全体の水収支は表-9

のようになる。このうち蒸発量と凝縮量は豊富観測所地表の値であるので収支は正確に0にはならないが、融雪量のほとんどが積雪と降水とにによってきかはれていることになる。

6. 流出計算と考察

以上のよう計算された融雪量を入力して流出計算を行った。方法は融雪水の移動を考えず貯留勾配法における降水量に融雪量を置き換えたものである。実測流量は水位から換算していざが融雪初期には両地表とも融け出した氷とスノーシャムが河道を塞ぎ、水位のみ上昇する。このため流出解析の期間は限定されてしまう。図-5に昭和54年のガロベツ橋と豊富大橋のハイドログラフを示す。この図のうちガロベツ橋の適合性は比較的良好でみると、豊富大橋はやや差がある大きい。2地表の実測値と計算値の差を見ると、同じ時期には同じ傾向を示す傾向をみせている。このことから考えらるるのは、両地表のよりだの融雪要因の差よりも、気象データ互代用した堆内との気象条件の差のほうが大きいということである。

以上のよう融雪出水を全く計算だけで解析する方法では、積雪、融雪、流出の3つのステップを経て最後のハイドログラフでしか、その正否が判断できない。方法にこのような欠点があるにもかかわらず、ある程度の適合性を得られたと考える。

今後は流域内での気象因子の実測や積雪期のAlbedo値変化の測定など、さらに検討をすみたい。

参考文献

- 1) 石原健二; 水文気象の話(XIII) 水温の研究第12卷第1号 (1968)
- 2) 山口・長谷川; 融雪流出の予知に関する研究 土木試験所報告第64号 (1975)
- 3) 小島・小林・小林油川; 母里の小流域における融雪流出および融収の研究 I, II, III 低温科学・物理篇第28-29-31号 (1970-73)
- 4) 小島賢治; 融雪期における積雪表面の蒸発係数について 低温科学・物理篇第27号 (1969)
- 5) 石原健二; 水文気象の話(XIV) 水温の研究第12卷第2号 (1968)
- 6) 秋田谷英次; 地中から積雪内へ流出する熱流の測定 低温科学・物理篇第27号 (1969)
- 7) 藤田・山崎; 小流域における融雪流出の実験並びに解析 土木学会論文報告集 (1974)

年	積雪量	降水量	昇華蒸発量	昇華凝縮量	融雪量
53	33.02	9.90	-0.922	1.739	42.45
54	49.08	8.40	-1.044	1.120	56.57
55	32.93	8.80	-1.085	0.349	40.98

表-9 豊富大橋流域の水収支 (cm)

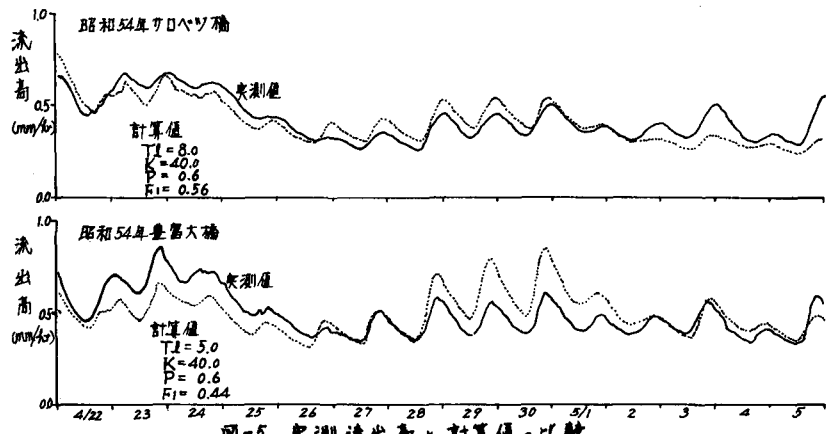


図-5 実測流出量と計算値の比較